

Лекция 12

Анизотропия температуры СМВ. Механизмы генерации анизотропии температуры. Зависимость анизотропии температуры от космологических параметров. Поляризация СМВ. В-мода поляризации и тензорные моды возмущений. Проблемы теории Большого взрыва и инфляционная космология.

Анизотропия температуры реликтового излучения

Средняя температура реликтового микроволнового фона (CMB, Cosmic Microvawe Background)
 $T_0 = 2.725 \pm 0.001$ К

Есть два типа анизотропии:

- Диполь $\delta T/T \sim 10^{-3}$ – эффект Доплера соответствующий движению со скоростью $v = 369 \pm 2$ км/сек относительно сопутствующей системы в направлении созвездия Гидры. Часть амплитуды может иметь космологическое происхождение, но много меньше наблюдаемого значения.
- Более высокие мультиполи космологического происхождения $\delta T/T \sim 10^{-5}$ – основа количественной космологии.

Дипольная компонента $l = 1$ вычитается.

Анизотропия температуры:

$$\delta T_0(\mathbf{n}) = T(\mathbf{n}) - T_0 \quad (12.1)$$

$$\frac{\delta T_0(\mathbf{n})}{T_0} = \sum_{l=2}^{\infty} \sum_{m=-l}^{l} a_{lm} Y_{lm}(\mathbf{n}) \quad (12.2)$$

$$Y_{lm}(\theta, \varphi) = (-1)^{\frac{m+|m|}{2}} \sqrt{\frac{2l+1}{4\pi}} \frac{(l-|m|)!}{(l+|m|)!} \sin^{|m|} \theta \frac{d^{|m|} P_l(\cos \theta)}{(d \cos \theta)^{|m|}} e^{im\varphi} \quad (12.3)$$

$$a_{l,m}^* = (-1)^m a_{l,-m} \quad (\text{вещественность}) \quad (12.4)$$

$$a_{lm} = \int d\mathbf{n} \frac{\delta T_0(\mathbf{n})}{T_0} Y_{lm}^*(\mathbf{n}) \quad (12.5)$$

Y_{lm} – неоднородности масштаба π/l

-
- Коэффициенты a_{lm} линейно определяются через начальные возмущения \mathcal{R} и др. \Rightarrow
 - Если начальные возмущения – гауссовые случайные поля, то и a_{lm} – набор гауссовых случайных величин.
 - Если Вселенная совершенно изотропна и флюктуации случайны, то a_{lm} не должны коррелировать при различных l, m
 - Рассматриваем ансамбль вселенных, таких как наша (!)
 - Тогда, усредняя по ансамблю

$$\langle a_{lm} a_{l'm'}^* \rangle = C_l \cdot \delta_{ll'} \delta_{mm'} \quad (12.6)$$

- Имея одну вселенную измерить C_l невозможно.
- Но для больших l есть много гармоник $m = -l, \dots, +l$, поэтому можно найти среднее C_l по набору, и можно даже проверить гауссов характер флюктуаций.

$$\langle C_l \rangle = \frac{1}{2l+1} \sum_{m=-l}^{+l} |a_{lm}|^2 \quad (12.7)$$

Несмотря на то, что ансамбль вселенных нам недоступен, каюто оценку C_l получить можно.

- Корректно ли определение (12.7)?

Коэффициенты a_{lm} зависят от ориентации системы координат, в которой они вычисляются.
Но величины C_l – не зависят:

$$\Theta_0(\mathbf{n}) \equiv \frac{\delta T_0(\mathbf{n})}{T_0} \quad (12.8)$$

$$\begin{aligned} & \sum_{m=-l}^{+l} |a_{lm}|^2 = \\ &= \sum_{m=-l}^{+l} \int d\mathbf{n}_1 \Theta_0(\mathbf{n}_1) Y_{lm}(\mathbf{n}_1) \int d\mathbf{n}_2 \Theta_0(\mathbf{n}_2) Y_{lm}^*(\mathbf{n}_2) = \\ &= \int d\mathbf{n}_1 d\mathbf{n}_2 \Theta_0(\mathbf{n}_1) \Theta_0(\mathbf{n}_2) \sum_{m=-l}^{+l} Y_{lm}(\mathbf{n}_1) Y_{lm}^*(\mathbf{n}_2) = \\ &= \left\langle \sum_{m=-l}^{+l} Y_{lm}(\mathbf{n}_1) Y_{lm}^*(\mathbf{n}_2) \right\rangle = \frac{2l+1}{4\pi} P_l(\mathbf{n}_1 \cdot \mathbf{n}_2) \\ &= \frac{2l+1}{4\pi} \int d\mathbf{n}_1 d\mathbf{n}_2 \Theta_0(\mathbf{n}_1) \Theta_0(\mathbf{n}_2) P_l(\mathbf{n}_1 \cdot \mathbf{n}_2) \quad (12.9) \end{aligned}$$

$$C_l = \frac{1}{4\pi} \int d\mathbf{n}_1 d\mathbf{n}_2 \Theta_0(\mathbf{n}_1) \Theta_0(\mathbf{n}_2) P_l(\mathbf{n}_1 \cdot \mathbf{n}_2) \quad (12.10)$$

Точного значения C_l , какое дало бы усреднение по ансамблю, не получим!

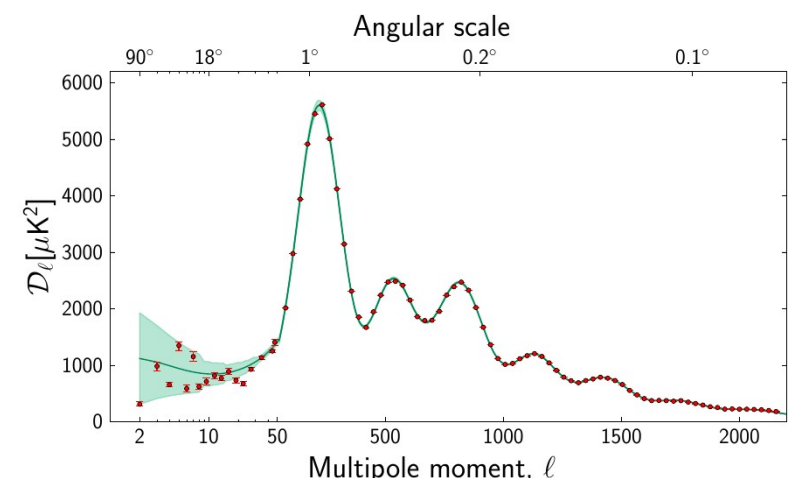
Какова ошибка $\delta C_l = ?$

$$\begin{aligned} \sigma^2 C_l &= \frac{1}{(2l+1)^2} \sigma^2 \left(\sum_{m=-l}^{+l} |a_{lm}|^2 \right) = \\ &= \frac{1}{(2l+1)^2} \sigma^2 (\chi^2_{2l+1}) \langle |a_{lm}| \rangle^2 = \\ &\frac{1}{(2l+1)^2} 2(2l+1) C_l^2 = \frac{2C_l^2}{2l+1} \Rightarrow \quad (12.11) \end{aligned}$$

$$\delta C_l \equiv \sqrt{\sigma^2 C_l} = \frac{C_l}{\sqrt{l + \frac{1}{2}}} \quad (12.12)$$

δC_l – космическая неопределенность, cosmic variance.

- Предсказания величины коэффициентов C_l не могут быть проверены с точностью, выше $\delta C_l \Rightarrow$
- Космологические параметры не могут быть определены со сколь угодно высокой точностью



Выразим $\langle \delta T^2 \rangle$ через коэффициенты C_l .

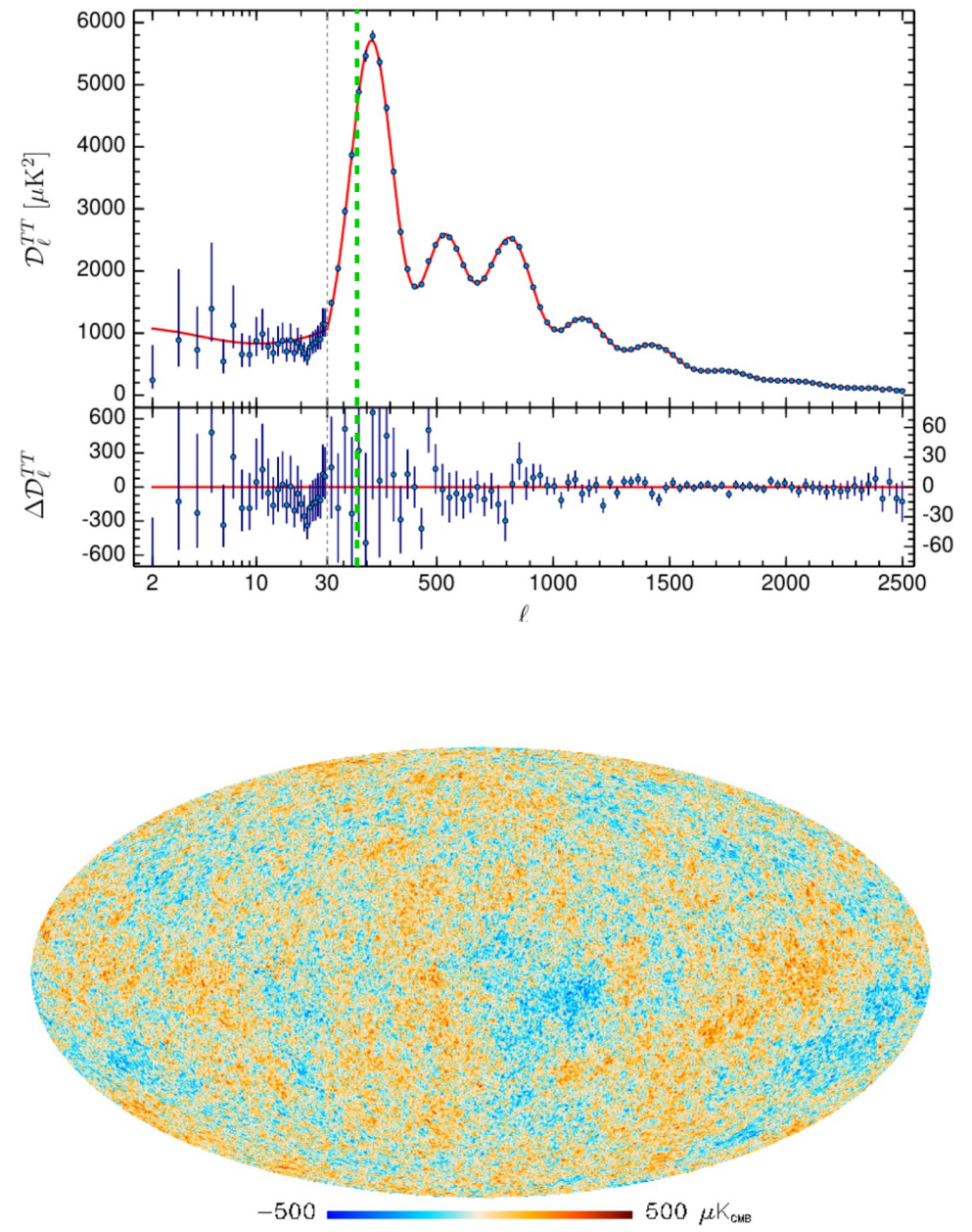
Двухточечная корреляционная функция (усреднение по ансамблю):

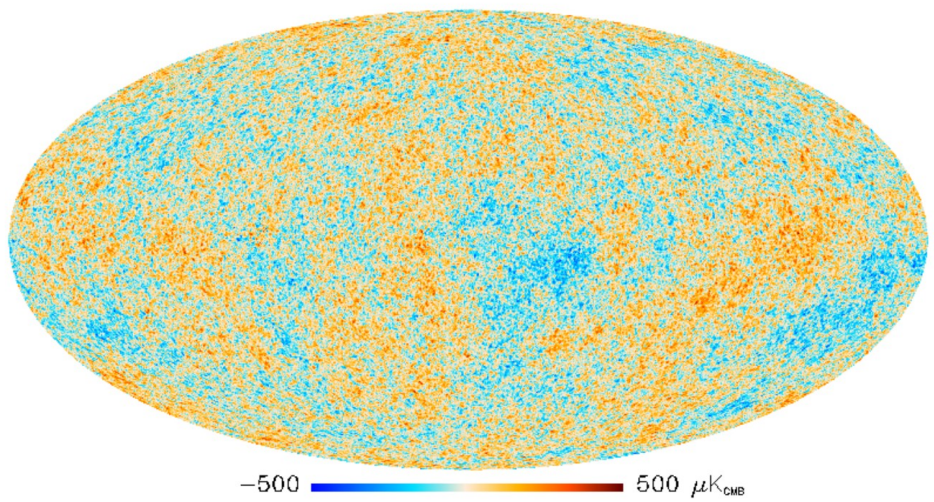
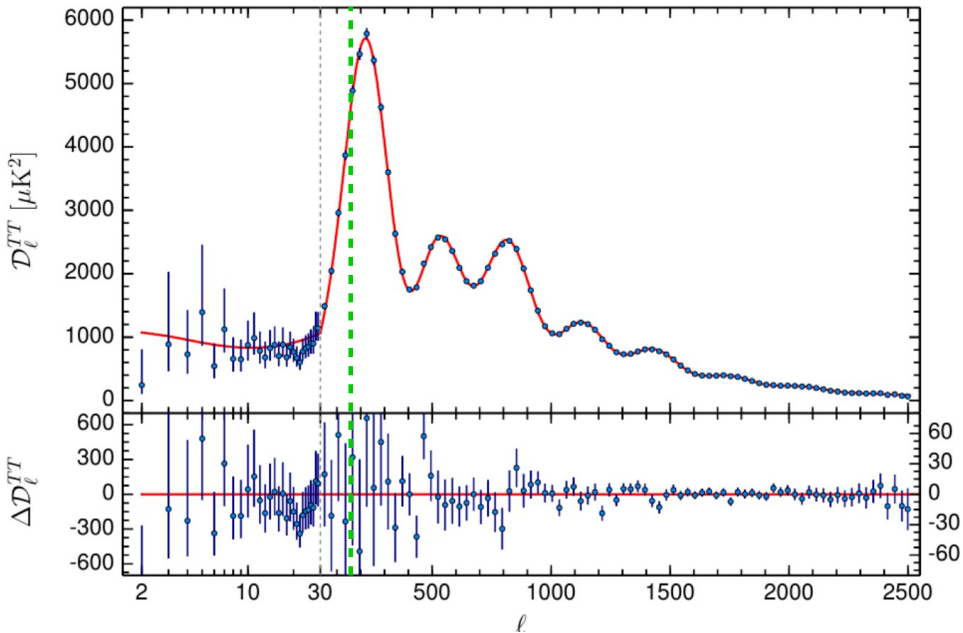
$$\begin{aligned}
\langle \delta T_0(\mathbf{n}_1) \delta T_0(\mathbf{n}_2) \rangle &= \langle \delta T_0(\mathbf{n}_1) \delta T_0^*(\mathbf{n}_2) \rangle = \\
&= T_0^2 \left\langle \sum_{l_1=2}^{\infty} \sum_{m_1=-l_1}^{+l_1} a_{l_1 m_1} Y_{l_1 m_1}(\mathbf{n}_1) \sum_{l_2=2}^{\infty} \sum_{m_2=-l_2}^{+l_2} a_{l_2 m_2}^* Y_{l_2 m_2}^*(\mathbf{n}_2) \right\rangle = \\
&= T_0^2 \sum_{l_1=2}^{\infty} \sum_{m_1=-l_1}^{+l_1} \sum_{l_2=2}^{\infty} \sum_{m_2=-l_2}^{+l_2} \langle a_{l_1 m_1} a_{l_2 m_2}^* \rangle Y_{l_1 m_1}(\mathbf{n}_1) Y_{l_2 m_2}^*(\mathbf{n}_2) = \\
&= \langle \langle a_{l_1 m_1} a_{l_2 m_2}^* \rangle = C_l \delta_{l_1 l_2} \delta_{m_1 m_2} \rangle = \\
&= T_0^2 \sum_{l=2}^{\infty} \sum_{m=-l}^{+l} C_l Y_{lm}(\mathbf{n}_1) Y_{lm}^*(\mathbf{n}_2) = \\
&= \left\langle \sum_{m=-l}^{+l} Y_{lm}(\mathbf{n}_1) Y_{lm}^*(\mathbf{n}_2) = \frac{2l+1}{4\pi} P_l(\mathbf{n}_1 \mathbf{n}_2) \right\rangle = \\
&= T_0^2 \sum_{l=2}^{\infty} C_l \frac{2l+1}{4\pi} P_l(\mathbf{n}_1 \mathbf{n}_2) \quad (12.13)
\end{aligned}$$

$$\begin{aligned}
\langle \delta T_0^2(\mathbf{n}) \rangle &= T_0^2 \sum_l \frac{2l+1}{4\pi} C_l \approx \langle \text{большие } l \rangle \approx \\
&\approx T_0^2 \int_0^{\infty} \frac{l+1/2}{2\pi} C_l l \frac{1}{l} dl \cong \int_0^{\infty} T_0^2 \frac{l(l+1)}{2\pi} C_l d(\ln l) \quad (12.14)
\end{aligned}$$

$$\mathcal{D}_l \equiv T_0^2 \frac{l(l+1)}{2\pi} C_l$$

(12.15)





Структура углового спектра анизотропии температуры СМВ – качественно

- Адиабатические моды, вошедшие под горизонт после рекомбинации никогда не осциллировали и на момент рекомбинации пребывали в константной моде
⇒
На масштабах больше горизонта событий на момент рекомбинации ожидается спектр флюктуаций, близкий плоскому спектру Паррисона-Зельдовича.
- Моды, вошедшие под горизонт до рекомбинации, осциллировали с фиксированной начальной фазой, причем частота пропорциональна k
⇒
к поверхности рассеяния придут с разными фазами и будет картина осцилляций в зависимости от l
- Граница между режимами:
Видимый размер горизонта рекомбинации 1.1°
⇒
 $l \approx 160 \pm$ некоторая переходная область.
- При больших k имеет место затухание осцилляций
⇒
Должны быть механизмы затухания, и они есть (см. далее).

Механизмы генерации анизотропии температуры СМВ

Поверхность последнего рассеяния имеет конечную толщину (продолжительность), но считаем ее равной нулю –

приближение мгновенного отщепления фотонов.

- Вопрос: Как влияют возмущения метрики на частоту фотонов при распространении от места излучения до места приема?
- Решим уравнения движения для фотонов и проследим за 0-компонентой импульса, которая связана с частотой.

Плоская метрика с возмущениями

$$ds^2 = a^2 \gamma_{\mu\nu} dx^\mu dx^\nu \quad (12.16)$$

По причине конформной инвариантности ЭМ поля (см. (3.56) и далее) геодезические фотонов можно вычислять в конформной метрике $\gamma_{\mu\nu}$.

Уравнение геодезической в конформной метрике $\gamma_{\mu\nu}$:

$$\frac{d^2 x^\mu}{d\lambda^2} + \gamma_{\nu\rho}^\mu \frac{dx^\nu}{d\lambda} \frac{dx^\rho}{d\lambda} = 0 \quad (12.17)$$

λ – произвольный параметр.

Касательный вектор («импульс»)

$$P^\mu = \frac{dx^\mu}{d\lambda} \Rightarrow \quad (12.18)$$

$$\frac{dP^\mu}{d\lambda} + \gamma_{\nu\rho}^\mu P^\nu P^\rho = 0 \quad (12.19)$$

Получим уравнения для P^μ как функций конформного времени (избавимся от λ).

$$\frac{dP^\mu}{d\lambda} = \frac{dx^0}{d\lambda} \frac{dP^\mu}{d\eta} = P^0 \frac{dP^\mu}{d\eta} \Rightarrow \quad (12.20)$$

$$P^0 \frac{dP^\mu}{d\eta} + \gamma_{\nu\rho}^\mu P^\nu P^\rho = 0 \Rightarrow \quad (12.21)$$

$$\frac{dP^\mu}{d\eta} + \gamma_{\nu\rho}^\mu \frac{P^\nu}{P^0} \frac{P^\rho}{P^0} P^0 = 0 \Rightarrow \quad (12.22)$$

0-компоненты:

$$\frac{dP^0}{d\eta} + \gamma_{\nu\rho}^0 \frac{P^\nu}{P^0} \frac{P^\rho}{P^0} P^0 = 0 \quad (12.23)$$

Скалярные возмущения метрики, Ньютона калибровка

$$h_{00} = 2\Phi, \quad h_{ij} = -2\Phi\delta_{ij} \quad (12.24)$$

Элементарно считаются:

$$\gamma_{00}^0 = \frac{1}{2}h'_{00}, \quad \gamma_{0i}^0 = \frac{1}{2}h_{00}, \quad \gamma_{ij}^0 = -\frac{1}{2}h'_{ij} \Rightarrow \quad (12.25)$$

$$\gamma_{00}^0 = \Phi', \quad \gamma_{0i}^0 = \partial_i\Phi, \quad \gamma_{ij}^0 = -\Phi'\delta_{ij} \quad (12.26)$$

Из (12.23)

$$\frac{dP^0}{d\eta} + P^0 \left(\Phi' - \Phi' \frac{P^i P^j}{P^0 P^0} \delta_{ij} + 2 \frac{P^i}{P^0} \partial_i \Phi \right) = 0 \quad (12.27)$$

Из (12.22) \Rightarrow в нулевом порядке $P^i = \text{const}$,
 $P^i/P^0 = n^i$ – единичный вектор вдоль направления
движения (почему?) \Rightarrow

$$\frac{dP^0}{d\eta} = 2\Phi'P^0 - 2(\Phi' + \mathbf{n}\nabla\Phi)P^0 \quad (12.28)$$

$$(\Phi' + \mathbf{n}\nabla\Phi) = \frac{d\Phi(\eta, \mathbf{x})}{d\eta} \quad (12.29)$$

$$\frac{dP^0}{d\eta} = 2\left(\Phi' - \frac{d\Phi}{d\eta}\right) \cdot P^0 \quad (12.30)$$

Общее решение:

$$\ln P^0(\eta) = \int_{\eta_0}^{\eta} 2\left(\Phi' - \frac{d\Phi}{d\eta}\right) d\eta \quad (12.31)$$

η_0 – некоторая константа (не нужна).

Как изменится от η' до η'' :

$$\ln\left(\frac{P^0(\eta'')}{P^0(\eta')}\right) = \int_{\eta'}^{\eta''} 2\left(\Phi' - \frac{d\Phi}{d\eta}\right) d\eta \quad (12.32)$$

$$\ln\left(\frac{P^0(\eta'')}{P^0(\eta')}\right) \cong \frac{P^0(\eta'')}{P^0(\eta')} - 1 = \frac{P^0(\eta'') - P^0(\eta')}{P^0(\eta')} \Rightarrow \quad (12.33)$$

$$\frac{P^0(\eta'') - P^0(\eta')}{P^0(\eta')} = 2 \int_{\eta'}^{\eta''} \Phi' d\eta - 2[\Phi(\eta'') - \Phi(\eta')] \quad (12.34)$$

Как изменяется P^0 нашли.

Связь частоты с P^0

Фотон испущен элементом среды с конформной скоростью U^μ , конформной частотой Ω .

Для скалярных возмущений в линейном порядке

$$U^0 = 1 - \Phi, \quad U^i = v^i \quad (12.35)$$

$$U_0 = 1 + \Phi, \quad U_i = -v^i \quad (12.36)$$

[ср. (8.121), (8.122) для физических скоростей.
Но в конформной системе физические и конформные
скорости – одно и то же из-за конформной инвариантности света]

Работаем в конформно-Ньютонаовой системе координат, $\gamma_{\mu\nu} \neq \eta_{\mu\nu}$

В системе покоя среды можно локально выбрать координаты так, что будет $\tilde{\gamma}_{\mu\nu} = \eta_{\mu\nu}$

Тогда:

$$\left. \begin{array}{l} \Omega = \tilde{P}^0 \\ \tilde{U}_\mu = (1, 0, 0, 0) \end{array} \right\} \Rightarrow \Omega = \tilde{U}_0 \tilde{P}^0 \Rightarrow \quad (12.37)$$

Общековариантное выражение для частоты (скаляр: частота в той системе, где среда, испустившая фотон, неподвижна):

$$\Omega = U_\mu P^\mu \quad (12.38)$$

Подставляем (12.36) в (12.38)

$$\begin{aligned} \Omega &= (1 + \Phi)P^0 - v_i P^i = \left\langle n^i = \frac{P^i}{P^0} \Rightarrow P^i = n^i P^0 \right\rangle = \\ &= (1 + \Phi)P^0 - v_i n^i P^0 = (1 + \Phi - \mathbf{v}\mathbf{n})P^0 \end{aligned} \quad (12.39)$$

$$\Omega(\eta') = [1 + \Phi(\eta') - \mathbf{nv}(\eta') P^0(\eta')] \quad (12.40)$$

Совершенно аналогичным образом, для приема фотона в момент η'' наблюдателем со скоростью $\mathbf{v}(\eta'')$

$$\Omega(\eta'') = [1 + \Phi(\eta'') - \mathbf{nv}(\eta'') P^0(\eta'')] \quad (12.41)$$

$$\begin{aligned} & \frac{\Omega(\mathbf{n}, \eta'') - \Omega(\mathbf{n}, \eta')}{\Omega(\mathbf{n}, \eta')} \cong \backslash \text{до первого порядка} \backslash \cong \\ & \cong \frac{P^0(\eta'') - P^0(\eta')}{P^0(\eta')} + \Phi(\eta'') - \Phi(\eta') + \mathbf{nv}(\eta') - \mathbf{nv}(\eta'') = \\ & = 2 \int_{\eta'}^{\eta''} \Phi' d\eta + \Phi(\eta') - \Phi(\eta'') + \mathbf{nv}(\eta') - \mathbf{nv}(\eta'') \end{aligned} \quad (12.42)$$

- Сдвиг конформной частоты пропорционален самой частоте \Rightarrow
- Форма спектра не меняется \Rightarrow
- Наблюдаются планковский спектр, с температурой, зависящей от направления

В момент рекомбинации были флюктуации температуры, обусловленные флюктуацией плотности $B\gamma$ -среды:

$$\rho_\gamma = \frac{\pi^2}{30} g_* T^4 \Rightarrow \quad (12.43)$$

$$\delta_\gamma = \frac{\delta\rho_\gamma}{\rho_\gamma} = \frac{4\delta T}{T} = \frac{4\delta\omega}{\omega} \Rightarrow \frac{\delta\omega}{\omega} = \frac{1}{4}\delta_\gamma \quad (12.44)$$

Эта величина добавится к (12.42).

Окончательно:

$$\frac{\delta T}{T}(\eta_0) = \frac{1}{4}\delta_\gamma(\eta_r) + [\Phi(\eta_r) - \Phi(\eta_0)] + \quad (12.45)$$

$$+ 2 \int_{\eta_r}^{\eta_0} \Phi' d\eta + \quad (12.46)$$

$$+ \mathbf{nv}(\eta_r) - \mathbf{nv}(\eta_0) \quad (12.47)$$

- (12.45) – эффект Сакса-Вольфа (флюктуация температуры + флюктуация гравитационного потенциала)

- (12.45) – интегральный эффект Сакса-Вольфа (фотон падает в один потенциал, а выбирается из другого) – следствие нелинейной эволюции возмущений, есть корреляции с крупными структурами – скоплениями галактик

- (12.45) – эффект Допплера

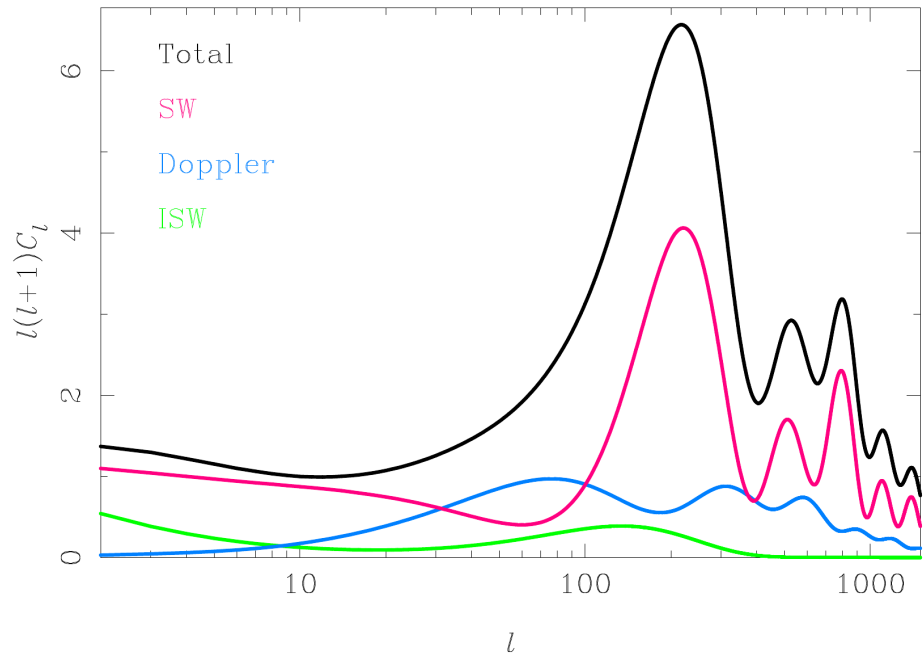
Вклад $\mathbf{nv}(\eta_0)$ (диполь) вычитается, вклад $\Phi(\eta_0)$ одинаков для всех направлений (монополь):

$$\frac{\delta T}{T}(\mathbf{n}, \eta_0) = \frac{1}{4}\delta_\gamma(\eta_r) + \Phi(\eta_r) + \quad (12.48)$$

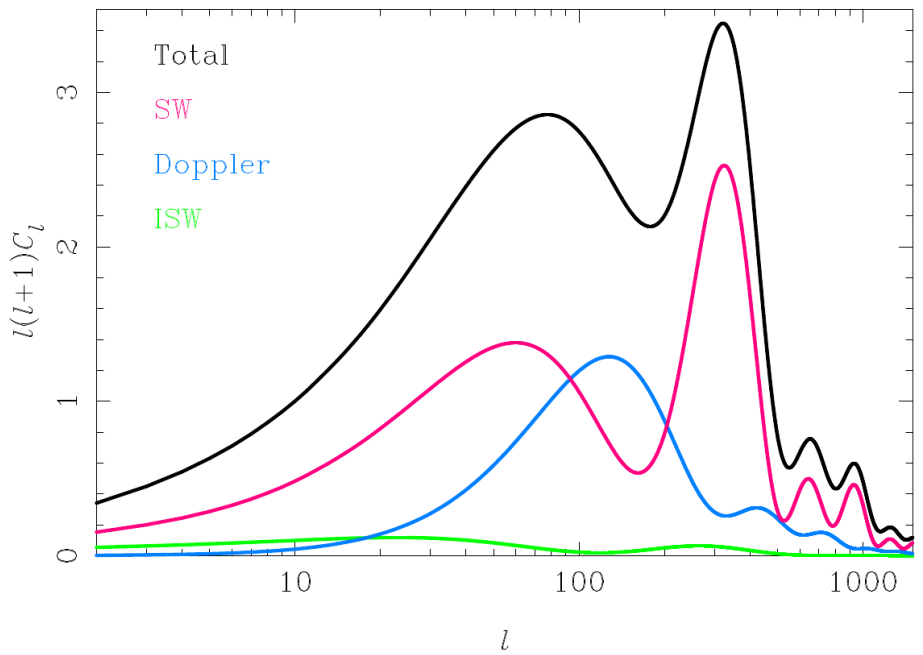
$$+ 2 \int_{\eta_r}^{\eta_0} \Phi' d\eta + \quad (12.49)$$

$$+ \mathbf{nv}(\eta_r) \quad (12.50)$$

Адиабатические моды:

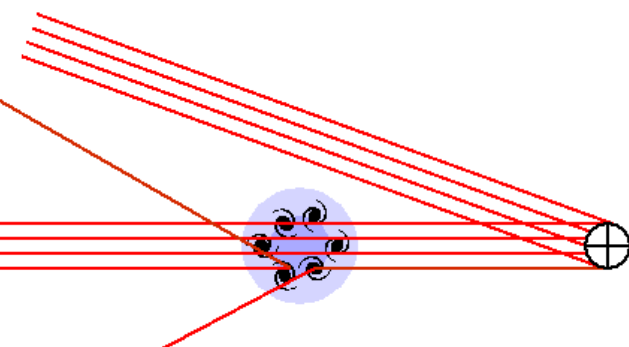


Моды постоянной кривизны:



Затухание и демпфирование и другие эффекты:

- Конечная толщина последней поверхности рассеяния \Rightarrow размывание анизотропии на малых масштабах.
- Рассеяние в эпоху реонизации \Rightarrow понижение контраста при всех масштабах.
- Эффект Силка (затухание Силка) – немонолитность среды $B\gamma$ вблизи поверхности рассеяния, транспортировка фотонов без изменения энергии \Rightarrow затухание осцилляций на малых масштабах.
- Линзирование – смазывает картинку на малых масштабах.
- Эффект Сюняева-Зельдовича (подогрев излучения быстрыми электронами).



Тензорные возмущения метрики

Легко считается:

$$\gamma_{ij}^0 = -h'_{ij}/2 \Rightarrow \quad (12.51)$$

$$\frac{dP^0}{d\eta} + \gamma_{\nu\rho}^0 \frac{P^\nu}{P^0} \frac{P^\rho}{P^0} P^0 = \frac{dP^0}{d\eta} - \frac{h'_{ij}}{2} n^i n^j P^0 = 0 \Rightarrow \quad (12.52)$$

$$\frac{P^0(\eta'') - P^0(\eta')}{P^0(\eta')} = \frac{1}{2} \int_{\eta'}^{\eta''} n^i h'_{ij} n^j \quad (12.53)$$

С тензорными модами не связаны вариации скорости среды, т.е. надо считать $U^0 = 1, U^i = 0 \Rightarrow$

Измеряемая частота

$$\Omega(\eta'') = P^0(\eta'') \Rightarrow \frac{\delta\omega}{\omega} = \frac{\delta T}{T} = \frac{\delta P^0}{P^0} \Rightarrow \quad (12.54)$$

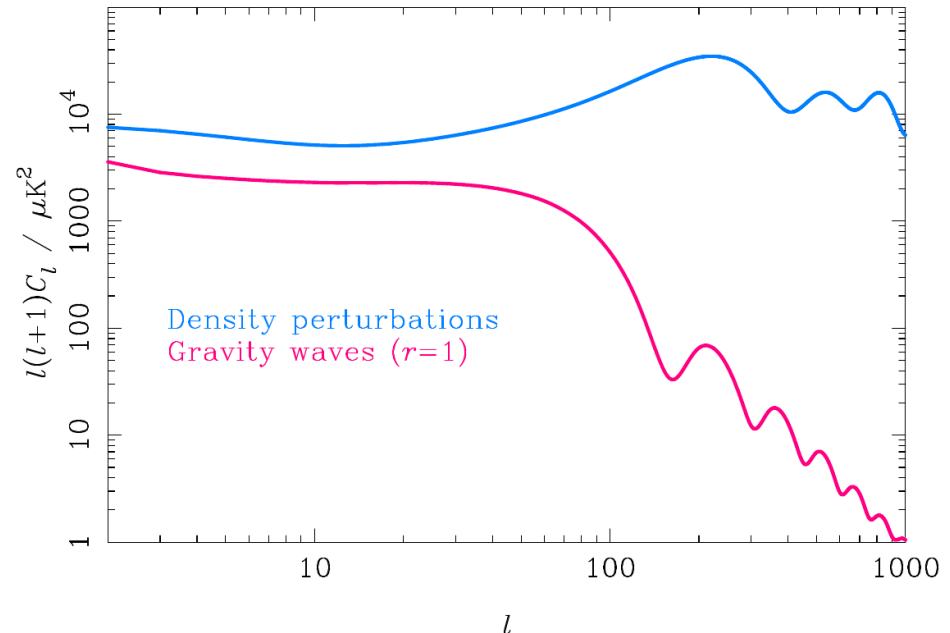
$$\frac{\delta T}{T}(\mathbf{n}, \eta_0) = \frac{1}{2} \int_{\eta'}^{\eta''} n^i h_{ij}^{TT'} n^j \quad (12.55)$$

– тензорный вариант интегрального эффекта Сакса-Вольфа.

Тензорные моды после входа под горизонт падают как $1/a \Rightarrow$

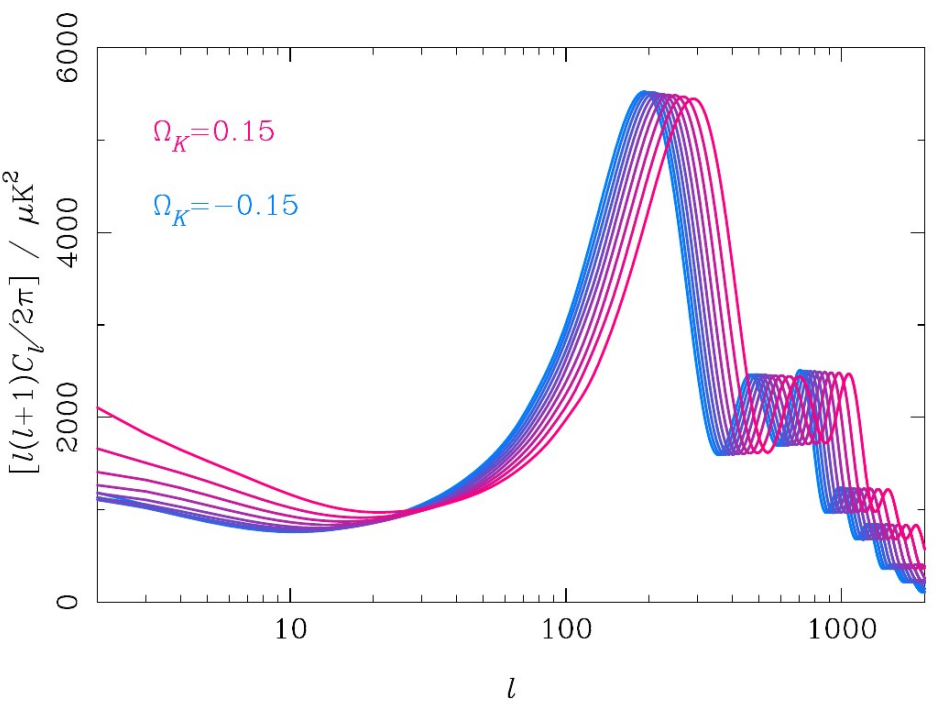
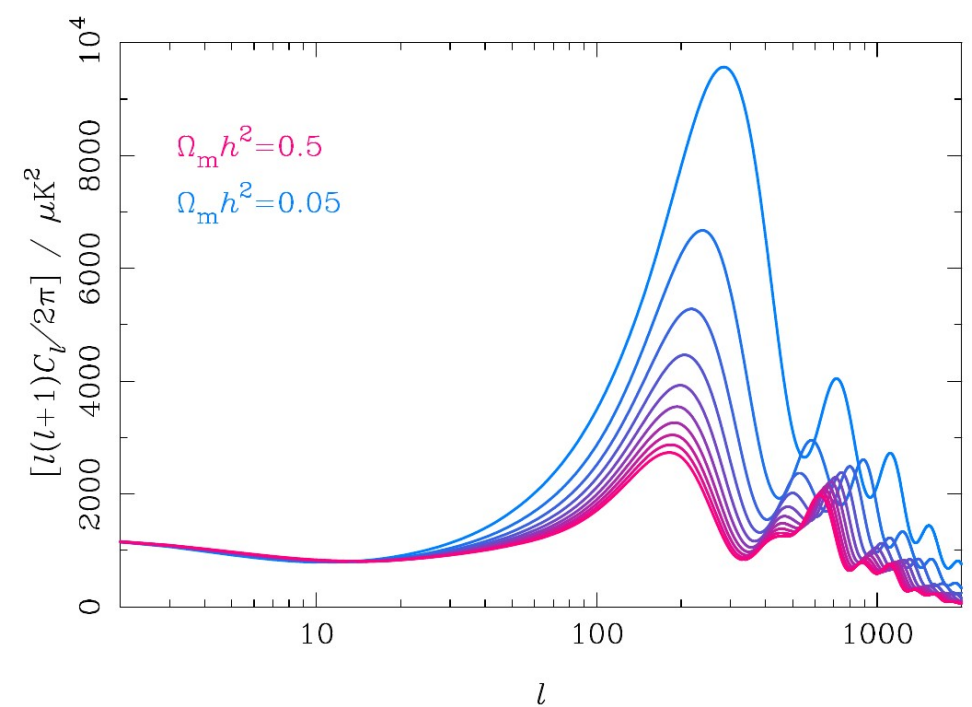
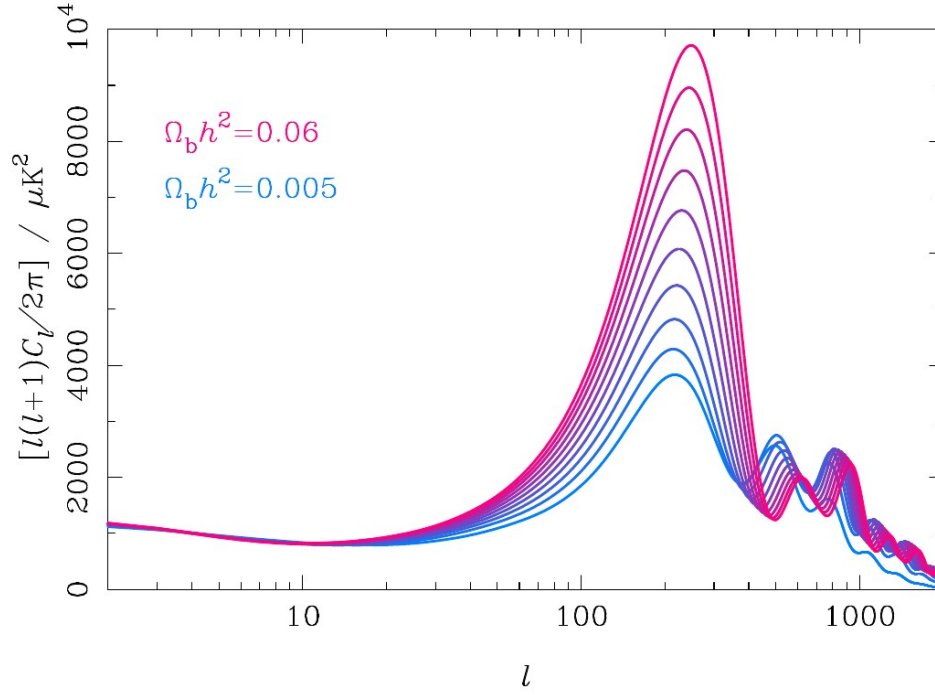
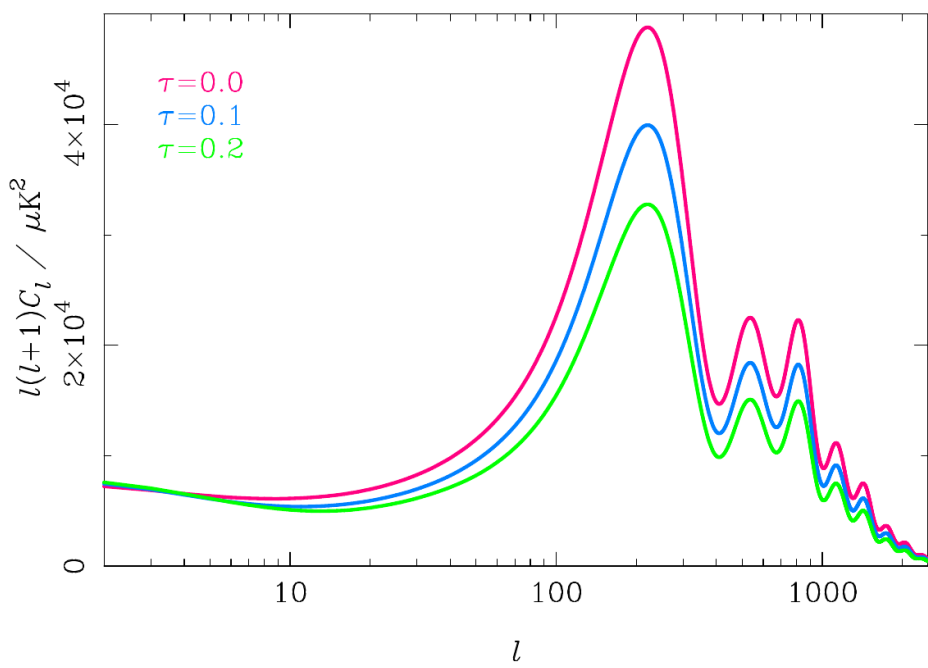
Ожидается вклад только мод, поздно вошедших под горизонт \Rightarrow

Большие масштабы неоднородностей



Тензорные моды проще обнаружить по вкладу в поляризацию СМВ (см. далее)

Зависимость анизотропии от космологических параметров



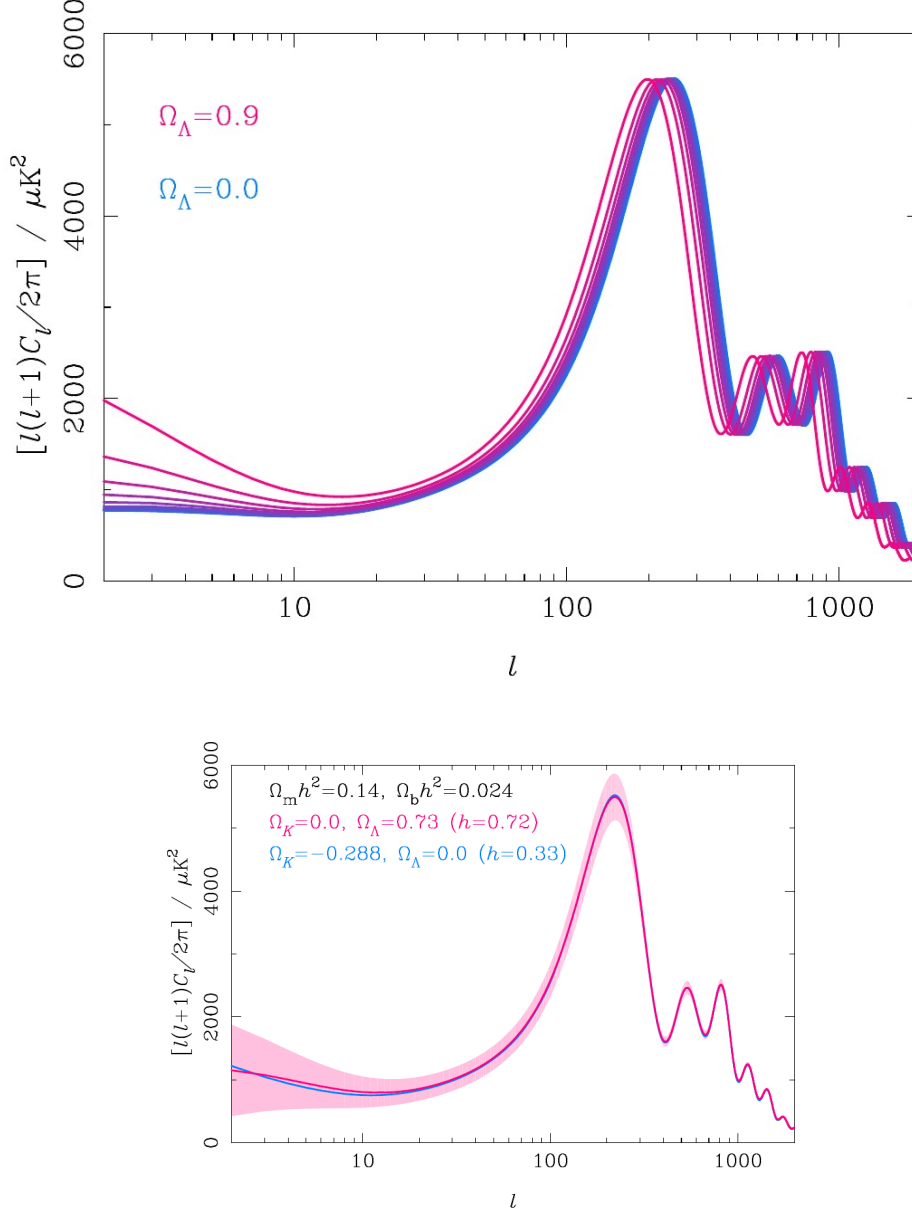


Fig. 11. The geometric degeneracy. A scale-invariant adiabatic Λ CDM model with $\Omega_b h^2 = 0.024$, $\Omega_m h^2 = 0.14$ and $\Omega_\Lambda = 0.73$ and $\Omega_K = 0$ (close to the WMAP best-fit values [12]) produces an almost identical spectrum to a closed model $\Omega_K = -0.288$ with vanishing cosmological constant. However, the Hubble constants are very different – $h = 0.72$ in the flat model and 0.33 in the closed model – and so the latter is easily ruled out by external constraints. The shaded region shows the 1σ cosmic variance errors $\Delta C_l / C_l = \sqrt{2/(2l+1)}$ on the power spectrum.

Открытый код **CAMB** для вычисления спектра мощности анизотропии СМВ:
camb.info

Code for Anisotropies in the Microwave Background
by [Antony Lewis](#) and [Anthony Challinor](#)

Get help: [Search](#) [Google Custom Search](#)

Features:

- Support for closed, open and flat models
- Scalar, vector and tensor modes including polarization
- Output C_l , matter transfer functions, matter power spectrum and σ_8
- Fast computation to $\sim 0.3\text{-}0.1\%$ accuracy, with controllable accuracy level
- Relatively structured and easily extendable Fortran 90 code
- Efficient support for massive neutrinos
- Absolute computations from correctly normalized initial power spectra
- Computation of lensed CMB power spectra and lensing potential power spectrum
- Internally parallelized for fast execution on multi-processor machines
- Use CAMB with [CosmoMC](#) for Monte-Carlo parameter estimation
- Constant equation of state [quintessence](#) (or variable [PPF](#))
- Support for general correlated adiabatic/isocurvature initial conditions
- Accurate full-sky calculation of lensed power spectra ([astro-ph/0502425](#))
- Integrated interface to [HALOFIT](#) for non-linear fitting
- support for arbitrary neutrino mass splittings
- For 21cm, lensing and number count power spectra see this [extension](#)
- For perturbed recombination and effect on small-scale baryons see this [extension](#)
- Calculation of local primordial and CMB lensing bispectra
- NEW:** Easy-to-use [Python wrapper](#)

Download the [Fortran 90 source code and python wrapper](#).

See the [ReadMe file](#) for documentation, [CosmoCoffee](#) for support, and the [RikTav](#) file for references.

CAMB online

https://lambda.gsfc.nasa.gov/toolbox/tb_camb_form.cfm

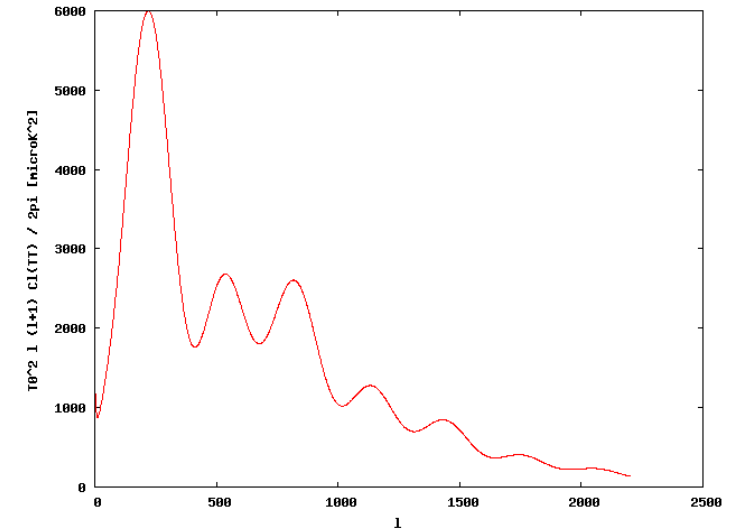
The screenshot shows the CAMB Web Interface. At the top, there's a navigation bar with links for Home, Data, Tools, Papers, Education, Links, and News. Below that is a sub-navigation bar for LAMBDA-Tools with links for Tools, Footprint, CAMB, WMAPViewer, Conversions, and Calculators. The main content area is titled "CAMB Web Interface". It includes a note about configuration documentation and supports for the April 2014 release. It also mentions that the form uses JavaScript and CSS. Descriptive information for CAMB parameters is available at <http://cosmologist.info/notes/CAMB.pdf>. A section titled "Actions to Perform" contains checkboxes for Scalar C_l's (checked), Vector C_l's, and Tensor C_l's; checkboxes for Do Lensing and Transfer Functions; and radio buttons for Linear, Non-linear Matter Power (HALOFIT), Non-linear CMB Lensing (HALOFIT), and Non-linear Matter Power and CMB Lensing (HALOFIT). A dropdown menu for Sky Map Output is set to "None". Below this, there's a list of notes about vector and tensor compatibility. At the bottom, there are input fields for Scalar (max 2200) and Tensor (max 1500) maximum multipoles.

Files

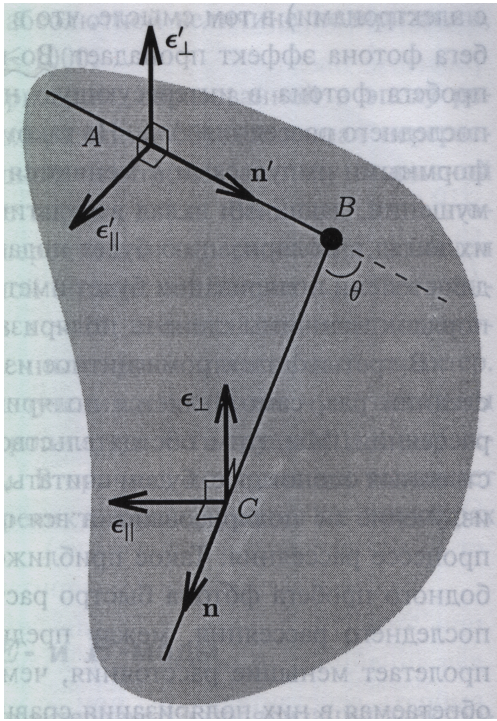
Log/Output [camb_84296825.log](#)
Scalar Output [camb_84296825_scalcls.dat](#)
Lensed Output [camb_84296825_lensedcls.dat](#)
FITS Output [camb_84296825_scalcls.fits](#)

Scalar Modes Plots

C_l^{TT} vs. l



Поляризация реликтового излучения



Комптоновское рассеяние:

$$\frac{d\sigma}{d\Omega} = \frac{3\sigma_T}{8\pi} \cos^2(\epsilon', \epsilon) \quad (12.56)$$

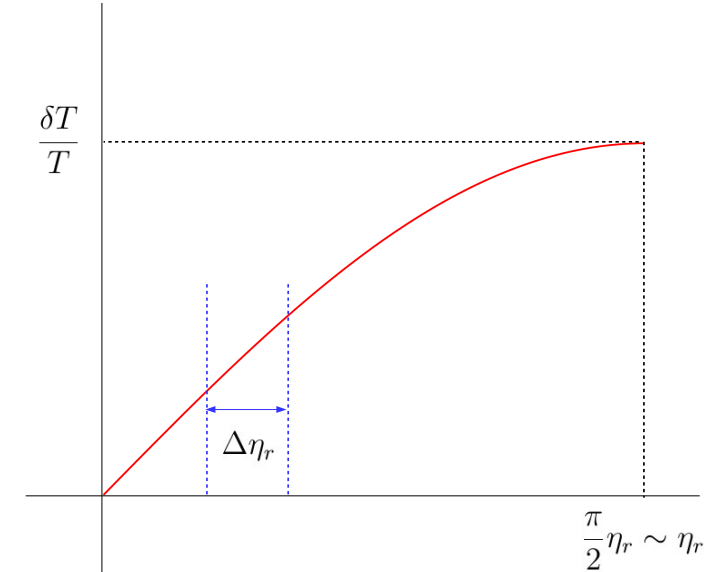
- Если с направления \mathbf{n}' приходит неполяризованное излучение, то в направлении \mathbf{n} излучение будет частично линейно поляризовано перпендикулярно плоскости $(\mathbf{n}', \mathbf{n})$.

\Rightarrow

- Если излучение, приходящее в точку B неизотропно, то рассеянное излучение в направлении \mathbf{n} будет частично поляризовано.

- Поток фотонов вблизи поверхности последнего рассеяния анизотропен \Rightarrow последнее рассеянное излучение частично поляризовано.

Масштаб величины поляризации



d – длина пробега фотонов, $\lambda/4$ – масштаб неоднородностей

$d \ll \lambda/4 \Rightarrow$ поляризации нет.

$d \gg \lambda \Rightarrow$ поляризации нет (эффект Силка)
Вблизи первого акустического пика, $l \sim 150$

$$k\eta_r \sim 1 \Rightarrow k \sim \frac{1}{\eta_r} \quad (12.57)$$

$$\lambda = \frac{2\pi}{k} \sim 2\pi\eta_r \quad (12.58)$$

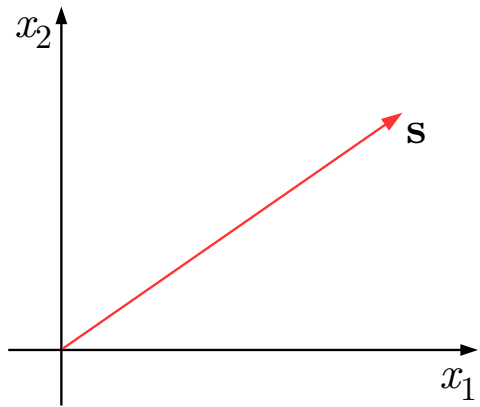
$$\frac{\lambda}{4} \sim \frac{\pi}{2}\eta_r \sim \eta_r \quad (12.59)$$

Пробег фотонов вблизи рекомбинации масштаба толщины поверхности последнего рассеяния $\Delta\eta_r \sim 0.1\eta_r \Rightarrow$

$$\mathcal{P} \sim \frac{\Delta\eta_r}{\eta_r} \frac{\delta T}{T} \sim 0.1 \cdot 5 \cdot 10^{-5} \sim 5 \cdot 10^{-6} \sim 10^{-5} \quad (12.60)$$

Тензор поляризации.

1. Поляризация узкого пучка



- Поляризация – не вектор:

- Проекция вектора на ось меняется от нуля до максимального значения
- Интенсивность света, проходящего через поляризатор, не обращается в нуль. - Поляризация не имеет направления

- Поляризация – 2-тензор

$$I(\mathbf{s}) = \langle |\mathbf{E} \cdot \mathbf{s}|^2 \rangle = \langle (E_a s_a)(E_b s_b)^* \rangle = s_a \langle E_a E_b^* \rangle s_b \quad (12.61)$$

$$I_{ab} = \langle E_a E_b^* \rangle \quad (12.62)$$

$$I = \langle |E_1|^2 \rangle + \langle |E_2|^2 \rangle \quad (12.63)$$

Тензор поляризации:

$$P_{ab} = \frac{I_{ab}}{I} \quad (12.64)$$

- Для линейно поляризованного света \mathbf{E} – действительный вектор $\Rightarrow P$ действительный, симметричный, со следом 1 \Rightarrow всего 2 независимых параметра
- Неполяризованное излучение

$$P_{ab} = \frac{\delta_{ab}}{2} \Rightarrow \det P = \frac{1}{4} \quad (12.65)$$

- Полностью поляризованное излучение

$$P_{ab} = E_a E_b \Rightarrow \det P = 0 \quad (\mathbf{E} \text{ – фикс. вектор}) \quad (12.66)$$

$$P = |\mathbf{E}\rangle \otimes \langle \mathbf{E}| \equiv |\mathbf{E}\rangle \langle \mathbf{E}| \quad (12.67)$$

$$|\mathbf{E}\rangle = \begin{pmatrix} E_1 \\ E_2 \end{pmatrix}, \langle \mathbf{E}| = (E_1^*, E_2^*) \equiv (E_1, E_2) \quad (12.68)$$

- Степень поляризации

$$\mathcal{P} = \sqrt{1 - 4 \det P}; \quad 0 \leq \mathcal{P} \leq 1 \quad (12.69)$$

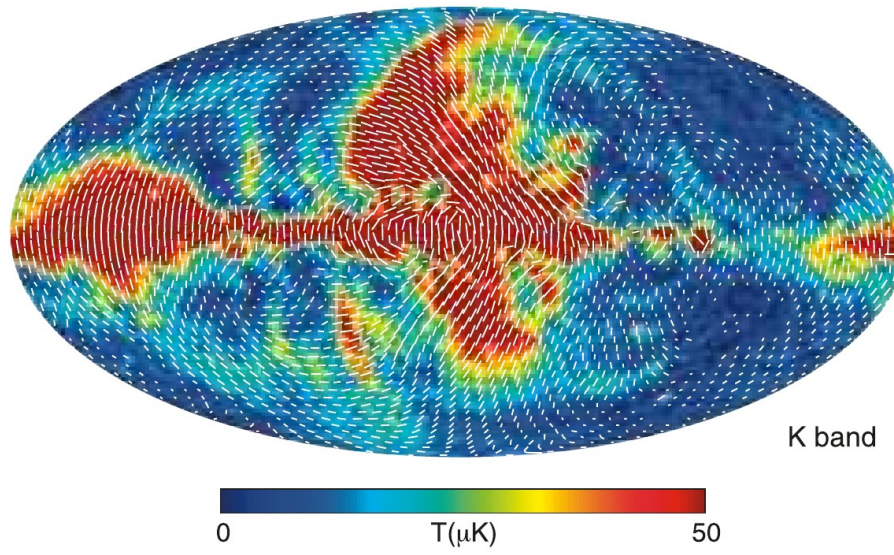
Пусть $\mathbf{s}^{(1)}, \mathbf{s}^{(2)}$ – нормированные собственные векторы P_{ab} . Тогда

$$\begin{aligned} P &= \lambda_p |\mathbf{s}^{(1)}\rangle \langle \mathbf{s}^{(1)}| + (1 - \lambda_p) |\mathbf{s}^{(2)}\rangle \langle \mathbf{s}^{(2)}| = \\ &= \langle \text{пусть } \lambda_p < 1/2 \rangle = \\ &= \lambda_p |\mathbf{s}^{(1)}\rangle \langle \mathbf{s}^{(1)}| + \lambda_p |\mathbf{s}^{(2)}\rangle \langle \mathbf{s}^{(2)}| - \\ &\quad - \lambda_p |\mathbf{s}^{(2)}\rangle \langle \mathbf{s}^{(2)}| + (1 - \lambda_p) |\mathbf{s}^{(2)}\rangle \langle \mathbf{s}^{(2)}| = \\ &= \lambda_p \hat{1} + (1 - 2\lambda_p) |\mathbf{s}^{(2)}\rangle \langle \mathbf{s}^{(2)}| \Rightarrow \end{aligned} \quad (12.70)$$

$$P_{ab} = \lambda_p \delta_{ab} + (1 - 2\lambda_p) s_a^{(2)} s_b^{(2)} = \frac{I_{ab}}{I} \Rightarrow \quad (12.71)$$

$$I_{ab} = \frac{1}{2} \delta_{ab} I^{(n)} + E_a^{(p)} E_b^{(p)} \quad (12.72)$$

Можно нарисовать поле вектора \mathbf{E}



$$\mathcal{P}_{ab} = P_{ab} - \frac{1}{2}\delta_{ab} \quad (12.73)$$

Легко показать:

$$\det \mathcal{P}_{ab} = \det P_{ab} - \frac{1}{4} \Rightarrow \mathcal{P} = \sqrt{-4 \det \mathcal{P}_{ab}} \quad (12.74)$$

Тензор \mathcal{P}_{ab} симметричный, бесследовый \Rightarrow два параметра.

Для неполяризованного излучения $\mathcal{P}_{ab} = 0$

2. Поле поляризации на единичной сфере

Обобщение (12.73):

$$\mathcal{P}_{ab} = P_{ab} - \frac{1}{2}g_{ab} \quad (12.75)$$

где g_{ab} метрический 2-тензор на единичной сфере (координаты любые, можно (θ, φ)).

Заданный на сфере симметричный бесследовый тензор можно представить через скалярный и псевдоскалярный «потенциалы»:

$$\mathcal{P}_{ab} = \{\nabla_a \nabla_b\} \mathcal{P}_E - \{\varepsilon_a^c \nabla_b \nabla_c\} \mathcal{P}_B \quad (12.76)$$

где ∇_a и ε_{ab} – ковариантная производная и антисимметричный тензор на сфере.

{...} означает выделение симметричной и бесследовой части:

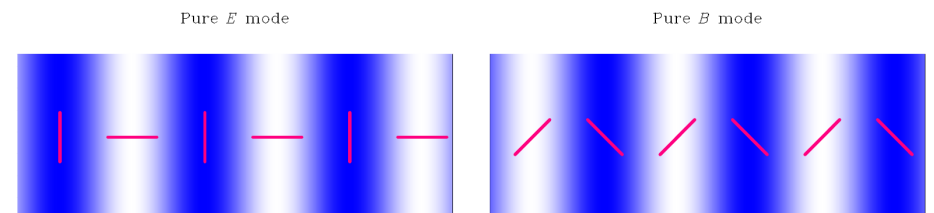
$$\{\nabla_a \nabla_b\} = \frac{1}{2}(\nabla_a \nabla_b + \nabla_b \nabla_a - g_{ab} \Delta) \quad (12.77)$$

$$\{\varepsilon_a^c \nabla_b \nabla_c\} = \frac{1}{2}(\varepsilon_a^c \nabla_b \nabla_c + \varepsilon_b^c \nabla_a \nabla_c) \quad (12.78)$$

Обратное преобразование:

$$-\Delta(\Delta + 2)\mathcal{P}_E = 2\{\nabla^a \nabla^b\} \mathcal{P}_{ab} \quad (12.79)$$

$$-\Delta(\Delta + 2)\mathcal{P}_B = 2\{\varepsilon_c^a \nabla^c \nabla^b\} \mathcal{P}_{ab} \quad (12.80)$$



$\nabla^a \mathcal{P}_{ab}$ – чистый градиент (как \mathbf{E}), если $\mathcal{P}_B = 0$,
 $\nabla^a \mathcal{P}_{ab}$ – чисто вихревой (как \mathbf{B}), если $\mathcal{P}_E = 0$.

Оригинальные статьи:

[astro-ph/9609132](https://arxiv.org/abs/astro-ph/9609132)

[astro-ph/9609169](https://arxiv.org/abs/astro-ph/9609169)

[astro-ph/9611125](https://arxiv.org/abs/astro-ph/9611125)

Разложение \mathcal{P}_E и \mathcal{P}_B :

$$\mathcal{P}_A = \sqrt{2} \sum_{lm} \sqrt{\frac{(l-2)!}{(l+2)!}} a_{lm}^E Y_{lm}(\mathbf{n}) \quad (12.81)$$

$$\mathcal{P}_B = \sqrt{2} \sum_{lm} \sqrt{\frac{(l-2)!}{(l+2)!}} a_{lm}^B Y_{lm}(\mathbf{n}) \quad (12.82)$$

$$= \sqrt{2} \sum_{lm} \sqrt{\frac{(l-2)!}{(l+2)!}} a_{lm}^B Y_{lm}(\mathbf{n}) \quad (12.83)$$

(нормировка из соображений удобства).

Коэффициенты a_{lm}^E и a_{lm}^B вычисляются по результатам наблюдений:

$$a_{lm}^E = - \int d\mathbf{n} \left[Y_{lm}^{(E)ab}(\mathbf{n}) \right]^* \mathcal{P}_{ab}(\mathbf{n}) \quad (12.84)$$

$$a_{lm}^B = - \int d\mathbf{n} \left[Y_{lm}^{(B)ab}(\mathbf{n}) \right]^* \mathcal{P}_{ab}(\mathbf{n}) \quad (12.85)$$

где

$$Y_{lm,ab}^{(E)} = \sqrt{\frac{2(l-2)!}{(l+2)!}} \left(\nabla_a \nabla_b Y_{lm} - \frac{1}{2} g_{ab} \nabla^c \nabla_c Y_{lm} \right) \quad (12.86)$$

$$Y_{lm,ab}^{(B)} = \sqrt{\frac{(l-2)!}{2(l+2)!}} (\nabla_a \nabla_c Y_{lm} \varepsilon_b^c + \nabla_c \nabla_b Y_{lm} \varepsilon_a^c) \quad (12.87)$$

Разные компоненты анизотропии (E, B) могут коррелировать между собой и все они могут коррелировать с температурой.

Поэтому определяется набор корреляторов

$$C_l^{XY} = \frac{1}{2l+1} \sum_m \langle a_{lm}^X a_{lm}^{Y*} \rangle, \quad (12.88)$$

где $X, Y = T, E, B$.

В силу симметрии по четности $C^{TB} \equiv 0, C^{EB} \equiv 0$.

Остаются нетривиальные корреляторы:

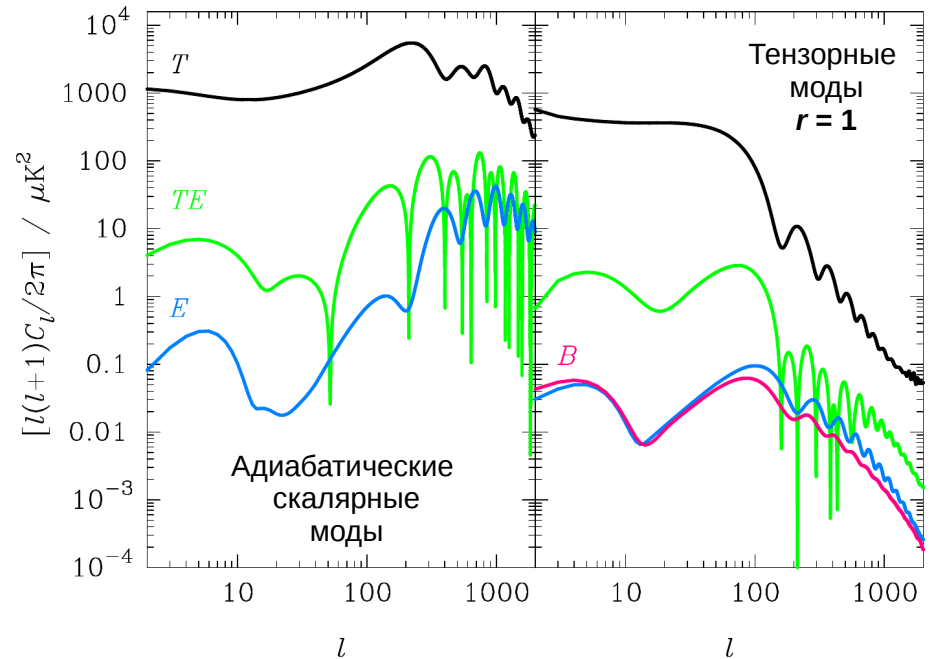
$$C_l^{TT} \equiv C_l, C_l^{TE}, C_l^{EE}, C_l^{BB}.$$

- Космологические скалярные моды дают вклад только в E -моду поляризации.

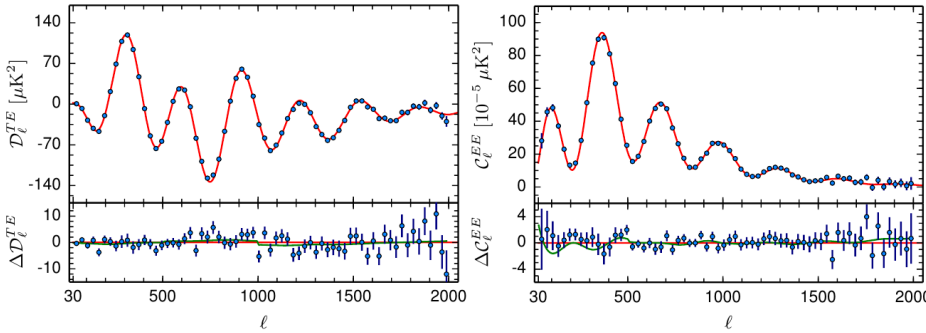
- Тензорные моды дают вклад и в E -моду, и в B -моду

\Rightarrow

- Обнаружение B -моды поляризации (вблизи $l \sim 100$) есть способ обнаружения тензорных мод и измерения тензорно-скалярного отношения r



Экспериментальные TE- и EE-спектры мощности поляризации (PLANCK-2015)



Проблема фонов:

- Рассеяние на свободных электронах реионизации
- Слабое гравитационное линзирование
(дает B -моду)
- Фарадеевское вращение (плазма + магнитное поле)
- Рассеяние на пыли (дает B -моду)

Последние результаты для В-моды:

Planck + BICEP2 + Keck Array:

arXiv:1502.00612 $r_{0.05} < 0.12$, 95%

arXiv:1511.05146 $r_{0.002} < 0.061$ 95%

Проблемы, неразрешимые в космологии горячего Большого взрыва

1. Наличие сингулярности метрики.

Начало эволюции с квантовой флюктуации?

2. Проблема горизонта.

Видимая вселенная содержит $\sim 10^3$ областей, которые были причинно связаны на момент рекомбинации.

Почему температуры одинаковы с точностью лучше 10^{-4} ?

Еще хуже обстоит дело с горизонтами в планковское время:

$$\rho_\gamma = 2\frac{\pi^2}{30}T^4; \quad \rho_\gamma \propto \frac{1}{a^4} \Rightarrow T \propto \frac{1}{a} \quad (12.89)$$

Наш горизонт в планковскую эпоху:

$$l_H^0(t_{Pl}) = l_H(t_0) \times \frac{a_{Pl}}{a_0} = l_H(t_0) \times \frac{T_0}{T_{Pl}} = \\ = 14 \text{ Гпк} \times 2 \cdot 10^{-32} \sim 10^{30} l_{Pl} \quad (12.90)$$

В видимой вселенной (вероятно) 10^{90} причинно связанных областей на момент квантового рождения.

Но Вселенная однородна. Почему?

3. Проблема плоскости

$\Omega_K(t)$ – относительная плотность кривизны, зависящая от времени:

$$\Omega_K(t) = \frac{\Omega_K^0 \left(\frac{a_0}{a}\right)^2}{\Omega_M^0 \left(\frac{a_0}{a}\right)^3 + \Omega_{rad}^0 \left(\frac{a_0}{a}\right)^4 + \Omega_\Lambda + \Omega_K^0 \left(\frac{a_0}{a}\right)^2} \quad (12.91)$$

$$\frac{\Omega_K(t_1)}{\Omega_K(t_2)} = \frac{a_2^2}{a_1^2} \times \frac{\Omega_M^0 \left(\frac{a_0}{a_2}\right)^3 + \Omega_{rad}^0 \left(\frac{a_0}{a_2}\right)^4 + \Omega_\Lambda + \Omega_K^0 \left(\frac{a_0}{a_2}\right)^2}{\Omega_M^0 \left(\frac{a_0}{a_1}\right)^3 + \Omega_{rad}^0 \left(\frac{a_0}{a_1}\right)^4 + \Omega_\Lambda + \Omega_K^0 \left(\frac{a_0}{a_1}\right)^2} \quad (12.92)$$

$t_1 = t_{Pl}$, $t_2 = t_0 \Rightarrow$

$$\frac{\Omega_K(t_{Pl})}{\Omega_K^0} \cong \left(\frac{a_{Pl}}{a_0}\right)^2 \frac{1}{\Omega_{rad}^0} = \left(\frac{T_{Pl}}{T_0}\right)^2 \frac{1}{\Omega_{rad}^0} \sim 10^{-60} \quad (12.93)$$

В момент Большого взрыва Вселенная нереально плоская (ожидается $\Omega_{curv}(t_{eq}) \sim 1$). Почему?

4. Проблема энтропии

В момент квантового рождения ожидается энтропия ~ 0 .

Энтропия видимой вселенной $\sim 10^{88}$ (число фотонов).

Расширяется адиабатически – откуда столько энтропии?

5. Проблема первичных возмущений

Откуда первичные возмущения и почему масштаб $\delta\rho/\rho \sim 5 \cdot 10^{-5}$?

6. Проблема монополей

Если во Вселенной были температуры больше 10^{16} ГэВ, должны были интенсивно трождаться GUT-магнитные монополи. Где они?

Эти вопросы решаются в инфляционной космологии.